

北大 正員 角田与史雄
 " " 塙 康司
 " " 能町純雄

1. まえがき

鉄筋コンクリート(RC)はりの曲げ変形曲線は、ひびわれ発生前のいわゆる状態Iの理論線から、ひびわれ発生後、ある過渡曲線を経て状態IIの理論線へ漸近していく形状とすることが知られています。RCスラブにおいても基本的にはやはり同様の性質をもつことは容易に理解できますか、スラブでは2方向の応力および変形の相互作用と鉄筋のせん断補強筋としての性質のため、はりには見られない方向性のある変形特性が現れます。

著者らは、この問題についてさきに⁽¹⁾⁽²⁾、主曲げ方向に対する対称性2方向の配筋をしたスラブ要素の実験を行い、斜面直交2方向に等しい配筋をしたスラブであっても、曲げ方向によって変形量が異なることを明らかにしました。本研究ではさらに、曲げ方向に対する対称軸をもたないよう配筋した場合を含めて実験を補足し、スラブの変形特性について検討を加えるとともに、従来から多くの研究が行われているRCはりの理論を、スラブへ拡張する近似法についても検討を行なった。

2. 供試体および実験方法

さきの研究より、RCスラブの変形特性は、一方向ひじわれのみの一方向曲げ実験によつても十分にうながせることが知られています。ここではスラブをはりにモデル化して供試体の一方向曲げ実験によつて検討することにした。

供試体は、図.1に示すように、幅50cm、厚さ10cm、長さ180cmの板状のはりであり、一様曲げをうける中央部50cm×50cmの領域を研究対象とした。鉄筋は、累積牌鋼SD35のD10引張部に直角に配置した。外側に配置した鉄筋を1、内側のそれを2とすれば、鉄筋方向は $\alpha_1=0^\circ, 15^\circ, 30^\circ, 45^\circ, 60^\circ, 75^\circ, 90^\circ$ と変化させた。また、鉄筋一本当りの断面積を A_{s1} 、鉄筋方向に対して直角に測った鉄筋間隔を d_1 、有効高さを d_2 とし、鉄筋比を $p_1 = A_{s1} / d_2 \cdot d_1$ によって表わせば、実験で用いた鉄筋比は $p_1 = 1.43\%$ 、 $p_2 = 1.42\%$ および $p_3 = 0.74\%$ の三種類である。なお、鉄筋端部は180°フックによつて定着した。コンクリートは、水セメント比45%で、早強ポルトランドセメントを用いた。供試体は試験前日まで湿润養生を行つて今日まで実験に供した。

載荷は、図.2に示すように又莫荷重を行ひ、中央部の純曲げ区間の引張面ひずみをユニタクト型ひずみ計で、主圧縮面ひずみをワイヤーストレンジージにより測定した。

3. 実験結果および考察

図.3は、供試体引張面の軸方向ひずみの測定結果の一例を示したものである。図中にはさらに、2つの方法による状態IIの計算値も合わせて示してある。計算値(a)は、曲げ方向への鉄筋の投影断面積を有効と仮定し、 $\sum p_i \cos^2 \alpha_i$ を有効鉄筋比として状態IIのはり理論を供試体軸方向に適用したものであり、計算値(b)は、鉄筋に対しては軸応力のかけ抵抗するという鋼モデルを、コンクリートに対しては供試体軸方向に状態II、それと直角方向に状態Iの応力状態を仮定し、2方向の力のつり合い条件より求めたものである。

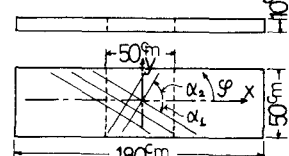


図.1 供試体

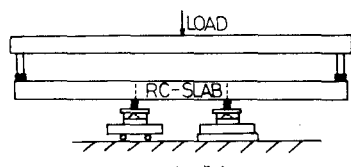


図.2 載荷方法

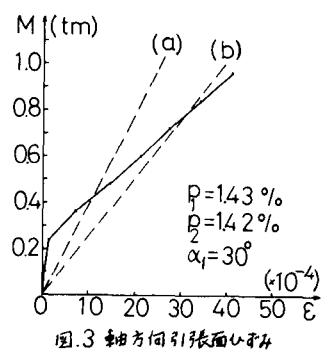


図.3 軸方向引張面ひずみ

さきの研究において、(a) の M (tm)

方法は曲げ方向と配筋方向とが一致しない場合、スラブの変形を過少評価し、(b) の方法の方より実際的のはじ値を与えることを示した。本実験においては、鉄筋の定着が不完全であったようで、そのため一部の供試体では(b) の計算値も上回る変形が生じたものもあつたが、全般的には、曲げ方向と配筋の斜軸とか

一致しない場合($15^\circ-75^\circ$, $30^\circ-60^\circ$)を含めて、さきの場合と同様の傾向が見らる。二のことは、鉄筋に水平方向の dowel 力が作用したとしても、そのスラブの変形に及ぼす影響が微小であることを意味している。

このように、鉄筋を鋼材モデル化するスラブ理論は実際との適合性が良好であるか、実用上の便から見れば、これを従来から多くの研究が行なわれていいのは理論に近似できれば好都合である。そこで、一方角柱のみの場合、いづれか直角方向のひずみ ϵ_y やせん断ひずみ γ_{xy} (図.1 参照)が、 E_x に比べて小さいことに着目し、これらを無視すれば、曲げ方向の変形に対する有効鉄筋比は次式のようになる。

$$P_e = \sum P_i \cos^4 \alpha_i \quad (1)$$

ここでこの有効鉄筋比を用い、供試体軸方向に対して状態Ⅱのはり理論を適用し、曲率を求めた結果を図.4~7 の実線Ⅱによって示してある。また、従来のはりの研究においては、状態Ⅰから状態Ⅱへの過渡曲線について種々の提案がなされていく。そこでその一例として Branson が提案していき有効断面二次モーメント:

$$I_{eff} = \left(\frac{M_{cr}}{M}\right)^4 I_g + \left[1 - \left(\frac{M_{cr}}{M}\right)^4\right] I_{cr} \quad (2)$$

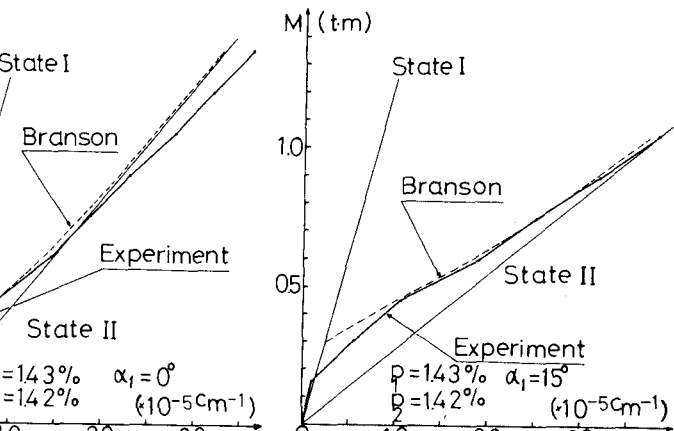


図.4 モーメント-曲率関係

図.5 モーメント-曲率関係

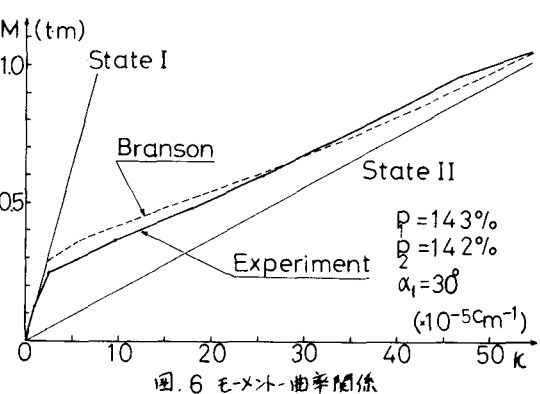


図.6 モーメント-曲率関係

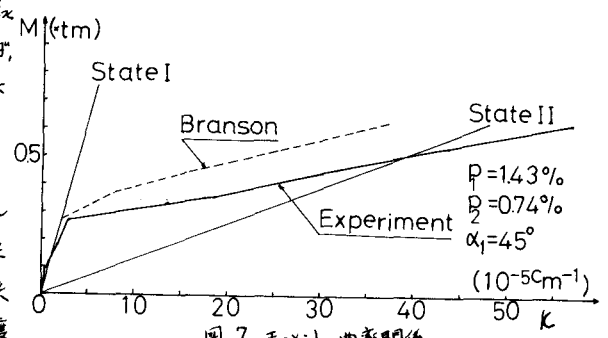


図.7 モーメント-曲率関係

ここで図 4~7 に当たる結果を図中の実線で示してある。図 4 は前述のように過大な変形が生じた供試体の例であるので適合性は良いと言えはいか、全般的には良く実測値の傾向をとらえていふと言えど、このように、スラブの変形に対しては、状態Ⅱの計算を了際(2)式に示すよろは有効鉄筋比を用いることにより、実用上比較的良い近似性をもつて、はり理論を利用できることとかわかる。

(1) 松井、能町、角田: RC 版の変形に及ぼす配筋方向の影響、第 3 回年次講演会概要集, V, 昭 51

(2) 能町、角田、松井: 鉄筋コンクリートスラブの変形特性に関する基礎研究、セミナー報, XXX, 昭 51